









Observatoire des Oiseaux Côtiers de Mayotte Bilan 2024/2025



GEPOMAY - Groupe d'Etudes et de Protection des Oiseaux de Mayotte

4 impasse Tropina - Miréréni 97680 TSINGONI, Mayotte

www.gepomay.fr

Avec le soutien financier de









Rédaction et mise en page : Malo Braquier

Relecture: Eloi Contant et Emilien Dautrey

Citation recommandée: Braquier M, Heudier M, Ahamada A, & Dautrey D. (2025):

Observatoire des Oiseaux Côtiers de Mayotte - Bilan 2024/2025. Rapport GEPOMAY 33pp.

Page de couverture (montage): Pluvier argenté, Sternes voyageuses et falaises de Moya (Malo

Braquier - GEPOMAY); Phaéton à bec jaune (Gilles Adt)

Sauf mention contraire, tous les crédits photographiques sont Malo Braquier - GEPOMAY

Table des matières

	Table des figures	2
	Table des photos	3
	Table des tableaux	3
lr	troduction	4
۱.	- Recensement des limicoles et des ardéidés sur les principaux sites d'accueil de Petite-Terre .	5
	I.1 – Présentation et rappel de la méthode	5
	I.2 – Résultats généraux	7
	I.3 – Charadriidés : Pluviers et Gravelots	. 11
	I.4 – Scolopacidés 1/2 : Courlis, Barge et Tournepierre	. 13
	I.5 – Scolopacidés 2/2 : Bécasseaux et Chevaliers	. 15
	I.6 – Autres limicoles : Drome et Glaréole	. 17
	I.7 – Ardeidés : Hérons et Aigrettes	. 19
II	– International Waterbird Census (IWC)	. 21
	II.1 – Présentation	. 21
	II.2 - Résultats	. 21
II	– Suivi en bateau des colonies de Phaéton à bec jaune	. 22
	III.1 – Présentation	. 22
	III.2 – Résultats	. 24
I۱	/ – Suivi aéroporté des reposoirs de Sternes	. 26
	IV.1 - Présentation	. 26
	IV.2 – Réalisation des survols	. 26
	IV.3 – Sterne voyageuse : abondance et répartition	. 28
	IV.4 – Noddi brun : abondance et répartition	. 29
	IV.5 – Sterne naine : abondance et répartition	. 30
С	onclusion	. 32
R	emerciements	. 32
В	ibliographie citée	. 33

Table des figures

Figure 1 - Sous-secteurs de la vasière des Badamiers	6
Figure 2 - Sous-secteurs du platier de l'aéroport et de Titi Moya	6
Figure 3 - Effectifs de limicoles recensés lors des comptages en Petite-Terre de 2024/2025 et comparaison ave	ec les
effectifs de 2020 à 2024	10
Figure 4 - Effectifs d'ardéidés recensés lors des comptages en Petite-Terre de 2024/2025 et comparaison ave	ec les
effectifs de 2020 à 2024	10
Figure 5 - Évolution des effectifs de Charadriidés sur la saison 2024/2025	11
Figure 6 - Effectifs maximum par année de Gravelot à front blanc pendant les comptages de 2013 à 2025	11
Figure 7 - Gravelot à front blanc au platier de l'aéroport le 10.03.2025	11
Figure 8 - Cartographies de répartition des effectifs de Charadriidés, par espèce, sur la saison 2024/2025	12
Figure 9 - Évolution des effectifs de Scolopacidés (1/2) sur la saison 2024/2025	13
Figure 10 - Cartographies de répartition des effectifs de Scolopacidés (1/2), par espèce	14
Figure 11 - Évolution des effectifs de Scolopacidés (2/2) sur la saison 2024/2025	15
Figure 12 - Effectifs de Chevalier guignette en 2024/2025 et comparaison avec les données depuis 2013	15
Figure 13 - Cartographies de répartition des effectifs de Scolopacidés (2/2), par espèce	16
Figure 14 - Évolution des effectifs de Drome ardéole sur la saison 2024/2025	17
Figure 15 - Cartographies de répartition des effectifs de Drome ardéole et de Glaréole à ailes noires	18
Figure 16 - Évolution des effectifs d'ardéidés sur la saison 2024/2025	19
Figure 17 - Cartographies de répartition des effectifs d'ardéidés, par espèce, sur la saison 2024/2025	20
Figure 18 – Localisation des sites prospectés pour l'International Waterbird Census 2025 à Mayotte	21
Figure 19 - Effectifs d'oiseaux d'eau cumulés par espèce lors de l'IWC 2025	22
Figure 20 - Cartographies des trois itinéraires du suivi des colonies de Phaéton à bec jaune en bateau	23
Figure 21 - Effectif maximum de Phaéton à bec jaune compté par colonie durant la saison 2024/2025	25
Figure 22 - Plan de vol du suivi en ULM des reposoirs à sternes	27
Figure 23 - Effectifs de Sterne voyageuse en 2024/2025 et comparaison avec les données depuis 2013	28
Figure 24 - Proportion des effectifs de Sterne voyageuse par reposoir, sur la saison 2024/2025	29
Figure 25 - Effectifs de Noddi brun en 2024/2025 et comparaison avec les données depuis 2013	29
Figure 26 - Proportion des effectifs de Noddi brun par reposoir, sur la saison 2024/2025	30
Figure 27 - Effectifs de Sterne naineen 2024/2025 et comparaison avec les données depuis 2017	31
Figure 28 - Proportion des effectifs de Sterne naine par reposoir, sur la saison 2024/2025	31

Table des photos

Photo 1 - Vue du lagon depuis M'Tsamboro	4
Photo 2 - Prospection à la plage de Titi Moya	5
Photo 3 - Pluvier asiatique au platier de l'aéroport le 07.04.2025	8
Photo 4 - Courlis corlieu à la vasière des Badamiers, reconnaissable à la silhouette caractéristique de son be	ec.13
Photo 5 - Glaréole à ailes noires au platier de l'aéroport le 17/05/2024 (à gauche) et le 26/11/2024 (à droite)	17
Photo 6 - Comptage au platier de l'aéroport	19
Photo 7 - Sterne naine sur l'îlot de sable blanc du sud le 13.01.2019. ©Thomas Ferrari - GEPOMAY	30
Photo 8 – Sternes voyageuses et noddis bruns sur l'îlot de sable blanc du sud, 07.06.2025	32
Table des tableaux	
Tableau 1 - Agents mobilisés pour les comptages en Petite-Terre sur la saison 2024/2025	7
Tableau 2 - Planning des comptages en Petite-Terre réalisés sur la saison 2024/2025	7
Tableau 3 - Diversité spécifique lors des comptages en Petite-Terre de 2013 à 2025	8
Tableau 4 - Diversité spécifique par secteur lors des comptages en Petite-Terre de la saison 2024/2025	9
Tableau 5 - Participants à l'IWC 2025	22
Tableau 6 - Planning des suivis de Phaéton à bec jaune en bateau en 2024/2025	24
Tableau 7 - Participants aux suivis de Phaéton à bec jaune en bateau en 2024/2025	24
Tableau 8 - Planning des survols ULM effectués en 2024/2025	26
Tableau 9 - Observateurs mobilisés pour la réalisation des survols ULM en 2024/2025	26

Introduction

L'Observatoire des Oiseaux Côtiers de Mayotte (OOCM) est porté par le Groupe d'Études et de Protection des Oiseaux de Mayotte (GEPOMAY) depuis 2013. L'OOCM assure depuis 12 ans le suivi des oiseaux côtiers et marins fréquentant Mayotte. Les données récoltées permettent de fournir des tendances de population, d'évaluer l'état de santé des espèces concernées et des milieux associées, et d'orienter la gestion d'espaces protégés (Parc Naturel Marin de Mayotte, vasière des Badamiers, îlots du lagon, falaises de Moya, etc.). Ce projet a également pour vocation l'acquisition de connaissances et le comblement des lacunes scientifiques sur les espèces ciblées, leur écologie, et les milieux qu'elles fréquentent ou dont elles dépendent. L'OOCM s'insère à ce titre dans des réseaux locaux, régionaux et internationaux. Le GEPOMAY est soutenu financièrement par la DEALM et l'OFB depuis 2014 pour la conduite de ce projet.

Nous présentons ici les résultats de la saison 2024-2025 au travers des différents projets portés par l'OOCM :

- Le suivi des limicoles et ardéidés sur Petite-Terre de juillet 2024 à juin 2025
- L'International Waterbird Census de janvier 2025
- Le suivi en bateau des colonies de Phaéton à bec jaune de novembre 2024 à juillet 2025
- Le suivi en ULM des reposoirs à sternes de juillet 2024 à juin 2025

La saison 2024-2025 aura été marquée par le passage du cyclone Chido à Mayotte, entravant la réalisation de nombreux suivis fin 2024 et début 2025. L'équipe du GEPOMAY a néanmoins tout mis en œuvre pour assurer la réalisation d'un maximum d'actions liées à l'OOCM.



Photo 1 - Vue du lagon depuis M'Tsamboro

I – Recensement des limicoles et des ardéidés sur les principaux sites d'accueil de Petite-Terre

I.1 - Présentation et rappel de la méthode

Ce suivi de population en place depuis 2013 étudie les tendances des effectifs des limicoles et ardéidés sur trois sites de Petite-Terre, qui comptent parmi les principaux sites d'accueil de Mayotte :

- La vasière des Badamiers, labellisée RAMSAR, et divisée en deux secteurs lors du comptage : le secteur « Beach-rock » et le secteur « Bacar ». Le suivi comprend la vasière des Badamiers au sens strict ainsi que les plages juxtaposées (plages du DLEM, de l'ACHM et du Faret).
- Le platier de l'aéroport, qui longe le sud de la piste. Le suivi comprend tout le littoral du port du four à chaux jusqu'aux brise-lames du bout de piste.
- La plage de Titi Moya.



Photo 2 - Prospection à la plage de Titi Moya

Lors des suivis, les sites sont divisés en sous-secteurs pour faciliter la prise de données (Figure 1 et Figure 2). Les comptages ont lieu deux fois par mois de septembre à mai, puis une fois par mois de juin à août. Ils commencent idéalement entre 7:00 et 8:00, à marée basse. Pour ces suivis, le GEPOMAY mobilise 2 à 3 agents, accompagnés quand c'est possible d'un agent du PNMM.

Sous-secteurs de la vasière des Badamiers 4.4 - langue de sable 4.1 - canal 4.2 - îlc Plage du Faret Four à chau Secteur Beach-rock Secteur Bacar 0,5 1 km Source: BD ORTHO 2020 IGN Conception : Malo Braquier - GEPOMAY 2025

Figure 1 - Sous-secteurs de la vasière des Badamiers

Sous-secteurs du platier de l'aéroport et de Titi Moya angrove Platier de l'aéroport 2 Secteur platier de l'Aéroport Secteur Titi Moya

Figure 2 - Sous-secteurs du platier de l'aéroport et de Titi Moya

Source: BD ORTHO 2020 IGN

Conception : Malo Braquier - GEPOMAY 2025

0,5

I.2 – Résultats généraux

Sur les 21 comptages initialement prévus de juillet 2024 à juin 2025, 17 ont pu être conduits normalement, 2 ont été partiels, et 2 n'ont pas été réalisés (Tableau 1). Le second comptage de décembre et ceux de janvier ont été perturbés par le passage du cyclone Chido, et le second comptage de mai n'a pu être réalisé pour cause d'embouteillages excessifs. La vasière des Badamiers a été prospectée 19 fois, le platier de l'aéroport et Titi Moya 18 fois, dont une fois à marée haute (le 05 janvier 2025).

Les comptages ont mobilisé 5 agents du GEPOMAY et 1 agent du PNMM pour la réalisation des suivis (Tableau 2), dix autres personnes sont venues en tant qu'accompagnateurs.

Tableau 2 - Planning des comptages en Petite-Terre réalisés sur la saison 2024/2025

D-4-	Secteur							
Date	Beach rock	Bacar	Aéroport					
Juillet								
18-juil	х	x	х					
Aout								
16-août	х	Х	х					
	Septembre							
14-sept	x	X	х					
27-sept	х	х	х					
	Octob	ore						
14-oct	x	X	х					
28-oct	х	Х	х					
	Novem	bre						
12-nov	x	X	x					
26-nov	х	Х	х					
	Décen	nbre						
12-déc	х	X	х					
26 d éc		-	-					
	Janvi	er						
05-janv	-	-	Х					
16-janv	х	X	-					
27-janv	Х	Х	-					
	Févri	er						
10-févr	х	X	х					
24-févr	Х	Х	Х					
	Mar	S						
10-mars	х	X	х					
25-mars	Х	Х	х					
	Avr	il						
07-avr	х	X	х					
23-avr	Х	Х	х					
	Ma	i						
07-mai	х	X	х					
23 mai	-	-	-					
	Juir	1						
06-juin	х	Х	x					

Tableau 1 - Agents mobilisés pour les comptages en Petite-Terre sur la saison 2024/2025

Observateur	Structure	Participations
Malo Braquier	GEPOMAY	16
Anisse Ahamada	GEPOMAY	15
Mickael Heudier	GEPOMAY	14
Ambdillah Ali	PNMM	7
Léo Bouakaz	GEPOMAY	2
Laurie Gaillard	GEPOMAY	1

Tableau 3 - Diversité spécifique lors des comptages en Petite-Terre de 2013 à 2025

Nom vernaculaire	Nom scientifique	2013	2014	2015	2016	2017	2018	18/19	19/20	20/21	21/22	22/23	23/24	24/25
Pluvier argenté	Pluvialis squatarola	х	х	х	х	х	х	х	х	х	х	х	х	х
Grand Gravelot	Charadrius hiaticula	х	х	х	х	х	х	х	х	х	х	х	х	х
Pluvier asiatique	Anarhynchus asiaticus			х										х
Gravelot du Tibet	Anarhynchus atrifrons	х	х	х	х	х	х	х	х	х	х	х	х	х
Gravelot de Leschenault	Anarhynchus leschenaultii	х	х	х	х	х	х	х	х	х	х	х	х	х
Gravelot à front blanc	Anarhynchus marginatus			х								х	х	х
Courlis cendré	Numenius arquata					х			х					
Courlis corlieu	Numenius phaeopus	х	х	х	х	х	х	х	х	х	х	х	х	х
Barge rousse	Limosa lapponica	х	х		х			х	х	х	х	х	х	х
Tournepierre à collier	Arenaria interpres	х	х	х	х	х	х	х	х	х	х	х	х	х
Bécasseau cocorli	Calidris ferruginea	х	х	х	х	х	х	х	х	х	х	х	х	х
Bécasseau sanderling	Calidris alba	х	х	х	х	х	х	х		х	х	х	х	х
Chevalier bargette	Xenus cinereus	х	х	х	х	х	х	х	х	х	х	х	х	х
Chevalier guignette	Actitis hypoleucos	х	х	х	х	х	х	х	х	х	х	х	х	х
Chevalier aboyeur	Tringa nebularia	х	х	х	х	х	х	х	х	х	х	х	х	х
Chevalier sylvain	Tringa glareola				х									
Drome ardéole	Dromas ardeola	х	х	х	х	х	х	х	х	х	х	х	х	х
Glaréole à ailes noires	Glareola nordmanni												х	х
Glaréole malgache	Glareola ocularis			х										
Héron cendré	Ardea cinerea	х	х	х	х	х	х	х	х	х	х	х	х	х
Héron de Humblot	Ardea humbloti		х	х	х	х	х	х	х	х	х	х	х	х
Héron pourpré	Ardea purpurea				х									
Grande Aigrette	Ardea alba	х	х	х	х	х	х	х	х	х	х	х	х	х
Héron garde-bœufs	Bubulcus ibis	х	х	х	х	х	х	х	х	х	х	х	х	х
Crabier blanc	Ardeola idae					х	х	х	х	х	х	х	х	х
Héron strié	Butorides striata	х	х	х	х	х	х	х	х	х	х	х	х	х
Diversité spéc	cifique par saison	17	18	20	20	19	18	19	19	19	19	20	21	22

La saison 2024-2025 fut particulièrement prolifique avec 22 espèces de limicoles et d'ardéidés contactées durant les comptages en Petite-Terre (Tableau 3). Pour la deuxième année consécutive, il s'agit de la plus forte diversité observée depuis le début de ce suivi en 2013. Notons l'observation pour la troisième saison d'affilée du Gravelot à front blanc, et pour la deuxième année de suite de la Glaréole à ailes noires qui avait été mentionnée pour la toute première fois à Mayotte en 2024. Un Pluvier asiatique a également été observé sur le platier de l'aéroport le 07/04/25 par Malo Braquier et Léo Bouakaz, il s'agit de la deuxième mention à Mayotte, la précédente ayant été faite par Alexandre Laubin en 2015!



Photo 3 - Pluvier asiatique au platier de l'aéroport le 07.04.2025

Nous partageons également les observations, hors suivi, de deux Glaréoles malgaches sur le platier de l'aéroport par Malo Braquier le 23/10/2024 (dernière mention en 2021) et d'un Chevalier sylvain au Dziani Dzaha par Léo Bouakaz le 05/04/2025 (dernière mention en 2020), qui témoignent d'un réseau d'ornithologues actif sur le territoire.

C'est à la vasière des Badamiers que l'on a observé le plus d'espèces (19 ; Tableau 4), devant le platier de l'aéroport (18 espèces) et Titi Moya (9 espèces). Comme l'année précédente, la Barge rousse et le Crabier blanc n'ont été vus qu'à la vasière des Badamiers, ainsi que le Chevalier bargette et la Grande Aigrette. Le Pluvier asiatique, le Gravelot à front blanc et la Glaréole à ailes noires seulement au platier de l'aéroport.

Tableau 4 - Diversité spécifique par secteur lors des comptages en Petite-Terre de la saison 2024/2025

Name of the last o	Managaria materiana	Vasière des	s Badamiers	Distinguis Hades and	Tial Massa	
Nom vernaculaire	Nom scientifique	Beach-rock	Bacar	Platier de l'aéroport	Titi Moya	
Pluvier argenté	Pluvialis squatarola	х	х	х	х	
Grand Gravelot	Charadrius hiaticula	х	х	х	Х	
Pluvier asiatique	Anarhynchus asiaticus			х		
Gravelot du Tibet	Anarhynchus atrifrons	х	х	х		
Gravelot de Leschenault	Anarhynchus leschenaultii	х	х	х	х	
Gravelot à front blanc	Anarhynchus marginatus			х		
Courlis cendré	Numenius arquata					
Courlis corlieu	Numenius phaeopus	х	х	х	Х	
Barge rousse	Limosa lapponica		Х			
Tournepierre à collier	Arenaria interpres	Х	Х	х	Х	
Bécasseau cocorli	Calidris ferruginea	х	х	х	Х	
Bécasseau sanderling	Calidris alba	Х		х		
Chevalier bargette	Xenus cinereus	Х	х			
Chevalier guignette	Actitis hypoleucos	х	Х	х	Х	
Chevalier aboyeur	Tringa nebularia	х	х	х		
Chevalier sylvain	Tringa glareola					
Drome ardéole	Dromas ardeola	х	х	х		
Glaréole à ailes noires	Glareola nordmanni			х		
Glaréole malgache	Glareola ocularis					
Héron cendré	Ardea cinerea	х	х	х	Х	
Héron de Humblot	Ardea humbloti		х	х		
Héron pourpré	Ardea purpurea					
Grande Aigrette	Ardea alba	х	х			
Héron garde-bœufs	Bubulcus ibis	х	х	х		
Crabier blanc	Ardeola idae		х			
Héron strié	Butorides striata	х	х	х	х	
Divorcité anéa	ifigue per contour	16	18	18	0	
Diversite spec	ifique par secteur	1	9	18	9	

Les effectifs de limicoles, furent moins conséquents en 2024/2025, relativement aux 4 saisons précédentes, en particulier de novembre à février (Figure 3). Les effectifs globaux sont répartis équitablement entre la vasière des Badamiers et le platier de l'aéroport (en y incluant Titi Moya), traduisant une baisse généralisée sur l'ensemble des sites suivis. Le cyclone Chido semble avoir eu un impact très limité sur les limicoles, dont l'évolution des effectifs durant la saison est en cohérence avec les années précédentes, avec un retour des effectifs normaux constaté dès mars. Le comptage de janvier 2025 contient un biais avec un platier de l'aéroport prospecté à marée haute et pas le même jour que la vasière des Badamiers). Il paraît tout de même plausible que le cyclone ait eu un impact au minimum sur la

dispersion des individus à court terme. Les effectifs d'Ardéidés ont été fluctuants mais proches de la moyenne (Figure 4).

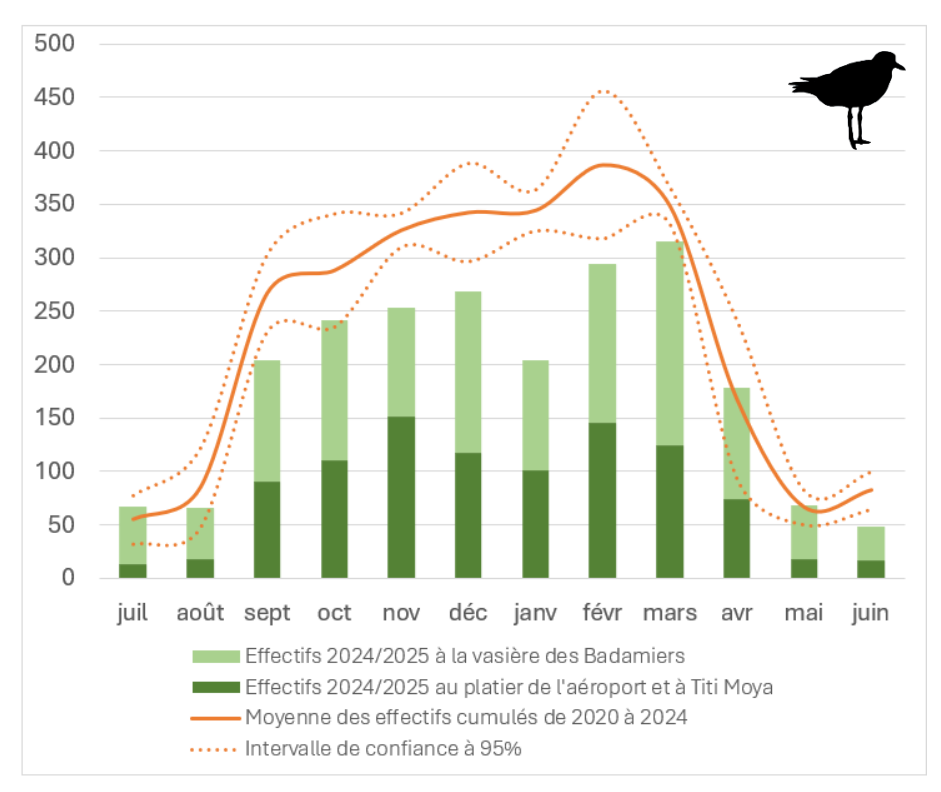


Figure 3 - Effectifs de limicoles recensés lors des comptages en Petite-Terre de 2024/2025 et comparaison avec les effectifs de 2020 à 2024

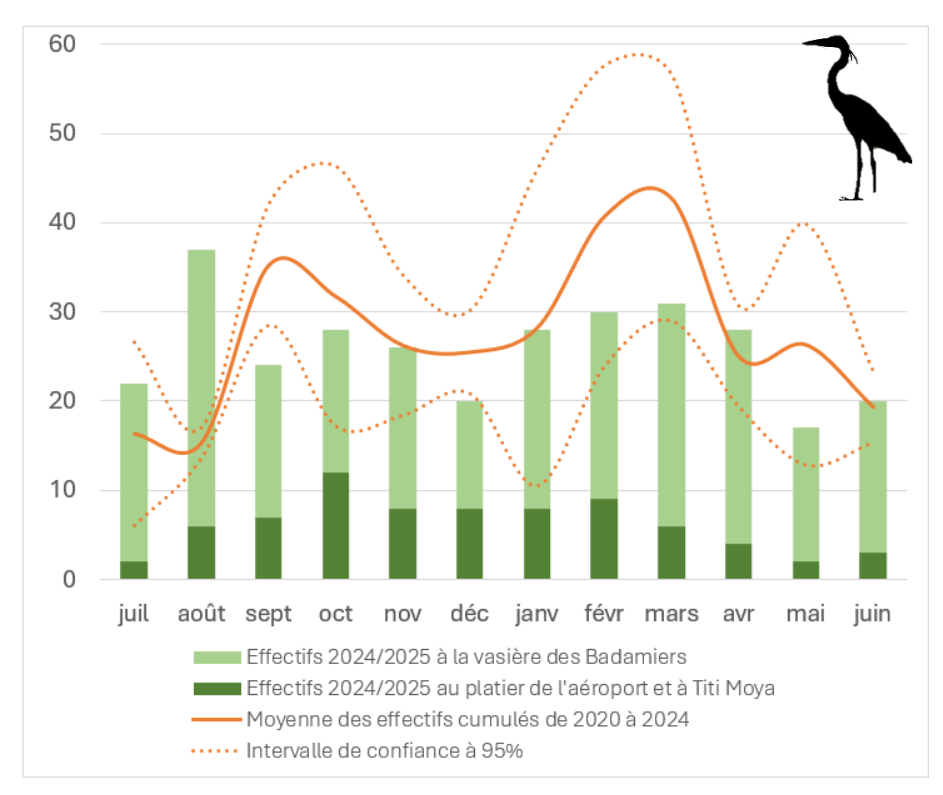


Figure 4 - Effectifs d'ardéidés recensés lors des comptages en Petite-Terre de 2024/2025 et comparaison avec les effectifs de 2020 à 2024

1.3 - Charadriidés: Pluviers et Gravelots

Cette année, six espèces de Charadriidés ont été observés : le Pluvier argenté, le Gravelot du Tibet, le Gravelot de Leschenault, le Pluvier asiatique, le Gravelot et le Gravelot à front blanc.

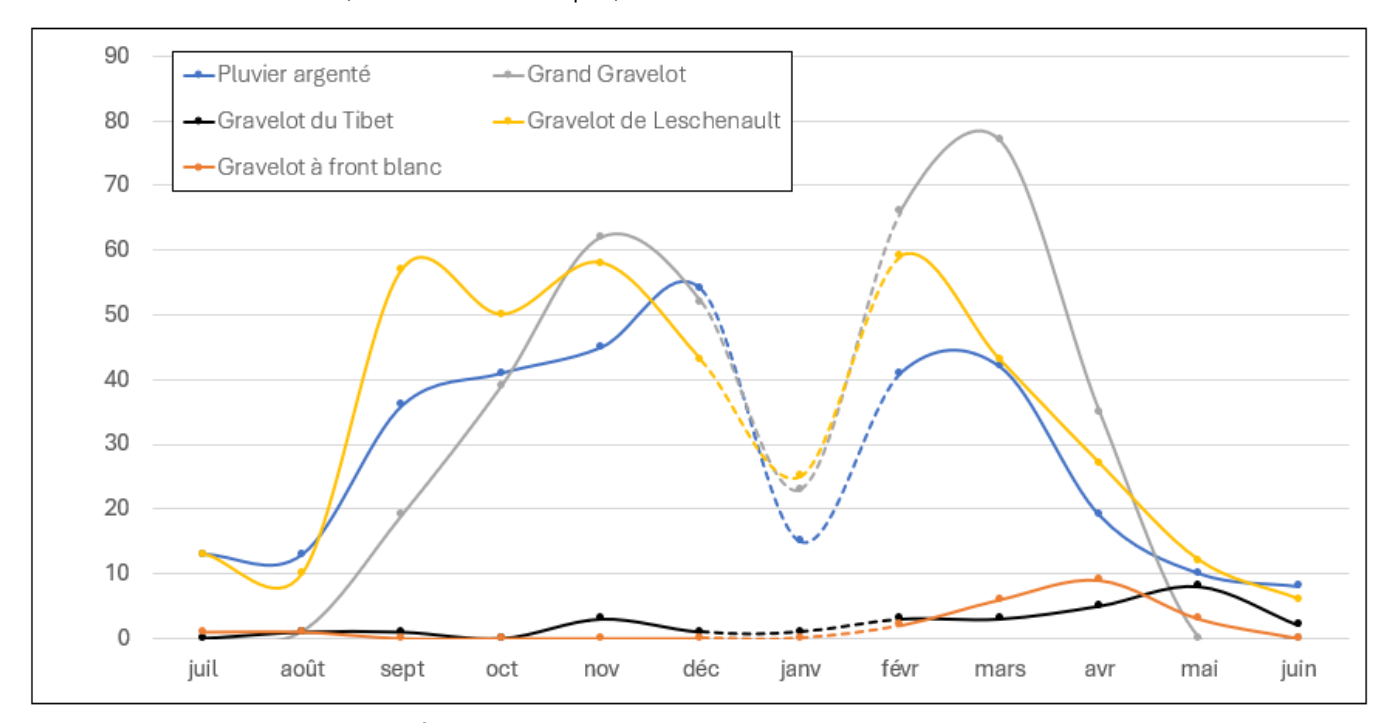


Figure 5 - Évolution des effectifs de Charadriidés sur la saison 2024/2025

Ces espèces présentent une phénologie marquée, avec une arrivée des premiers migrateurs entre août et septembre, puis un départ généralisé entre avril et mai (Figure 5). Quelques individus restent présents sur le territoire à l'année, notamment chez le Pluvier argenté et le Gravelot de Leschenault. Le Grand Gravelot est le limicole avec le plus grand effectif compté : 77 individus le 25 mars 2025.

Le Gravelot à front blanc a atteint un nouveau record de présence, avec 9 individus dénombrés le 07 avril 2025. Les effectifs de cette espèce continuent la hausse constatée depuis quelques années.

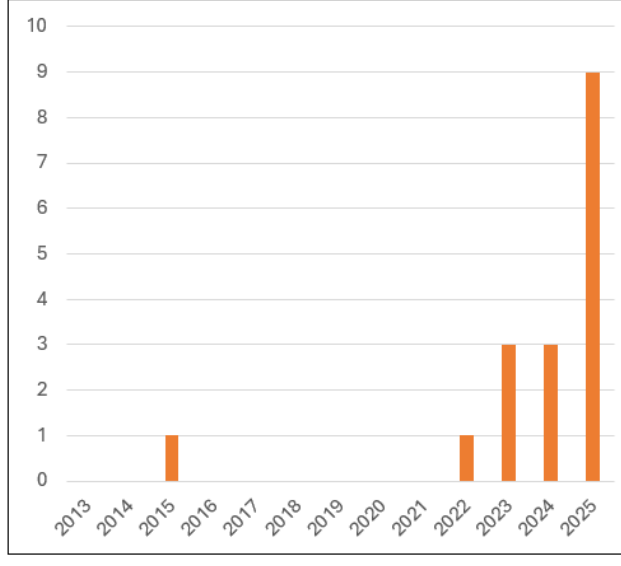


Figure 6 - Effectifs maximum par année de Gravelot à front blanc pendant les comptages en Petite-Terre de 2013 à 2025



Figure 7 - Gravelot à front blanc au platier de l'aéroport le 10.03.2025













Figure 8 - Cartographies de répartition des effectifs de Charadriidés, par espèce, sur la saison 2024/2025

Les Pluviers et Gravelots fréquentent préférentiellement les habitats découverts tel que les formations sédimentaires du Beachrock et du platier de l'aéroport à marée basse (Figure 8). Ces habitats constituent des terrains de chasse idéaux pour ces espèces qui chassent à vue les petits invertébrés. Seul le Pluvier argenté fréquente également de façon notable les milieux sablo-vaseux de l'intérieur de la vasière des Badamiers.

I.4 – Scolopacidés 1/2 : Courlis, Barge et Tournepierre

Les Scolopacidés sont des oiseaux dont le bec a remarquablement évolué afin de pouvoir atteindre les invertébrés dans la vase de pratiquement toutes les manières possibles. Huit espèces ont été observé cette année dont le Courlis corlieu, la Barge rousse et le Tournepierre à collier.

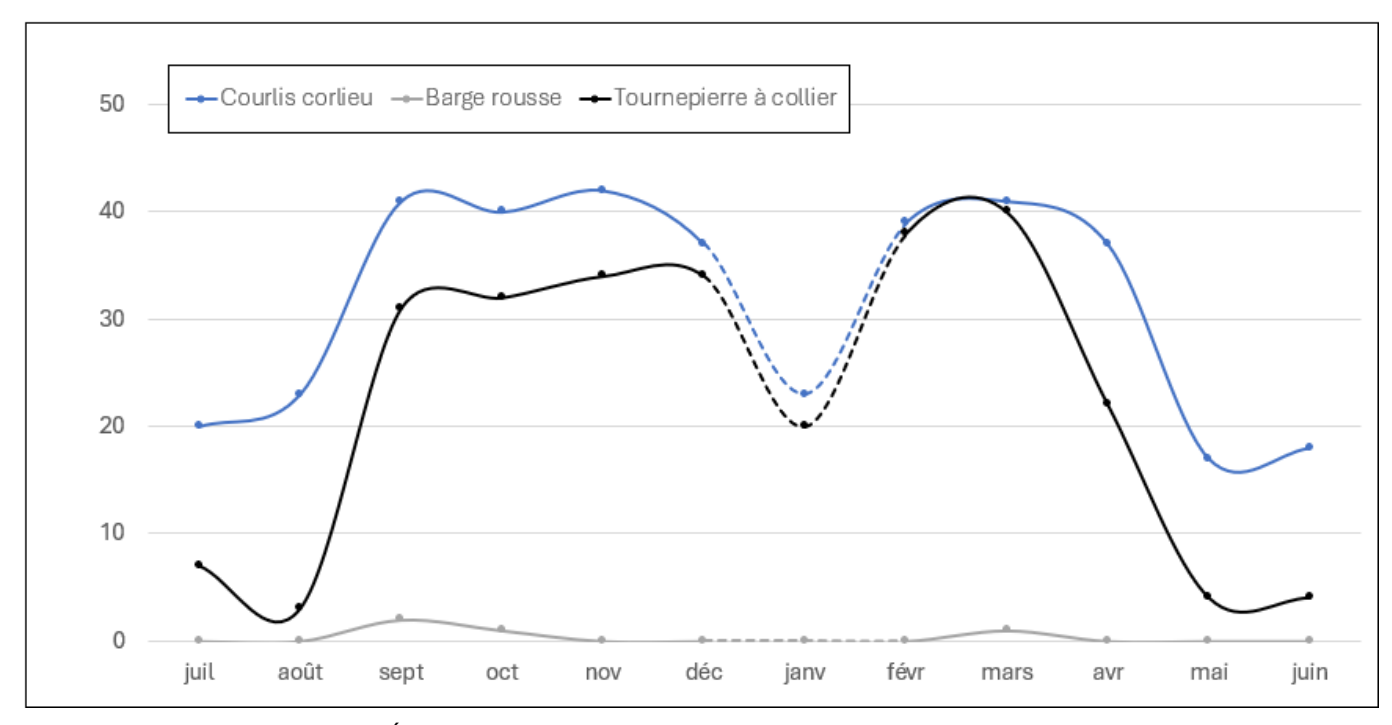


Figure 9 - Évolution des effectifs de Scolopacidés (1/2) sur la saison 2024/2025

Les Courlis corlieux migrateurs arrivent à Mayotte principalement en septembre, avec ensuite une quarantaine d'individus en moyenne tout au long de la saison (Figure 9). Les effectifs sont similaires aux précédentes années, avec tout de même un pic migratoire de mars moins marqué que d'habitude. Le Courlis corlieu est un des limicoles les plus présents hors période de migration à Mayotte, bien qu'il ne se reproduise que dans les très hautes latitudes. Le Tournepierre à collier, montre une phénologie similaire, avec des effectifs dans la moyenne. La Barge rousse a été observée en septembre, octobre et mars, avec un maximum de 2 individus.



Photo 4 - Courlis corlieu à la vasière des Badamiers, reconnaissable à la silhouette caractéristique de son bec



Figure 10 - Cartographies de répartition des effectifs de Scolopacidés (1/2), par espèce, sur la saison 2024/2025

Le long bec incurvé du Courlis corlieu et de la Barge rousse leur permet de se nourrir des invertébrés enfouis profondément dans la vase. C'est pourquoi ils fréquentent essentiellement l'intérieur de la vasière des Badamiers, par opposition avec les Pluviers et Gravelots. Ce n'est pas exclusif car le Courlis corlieu est également présent sur le platier de l'aéroport (Figure 10).

Le Tournepierre à collier est présent de manière relativement homogène sur les différents secteurs prospectés, son bec est court mais fort, lui permettant de soulever les pierres pour trouver sa nourriture.

1.5 - Scolopacidés 2/2: Bécasseaux et Chevaliers

Les cinq autres espèces de scolopacidés rencontrées sont le Chevalier bargette, le Chevalier guignette, le Bécasseau aboyeur, le Bécasseau cocorli et le Bécasseau sanderling.

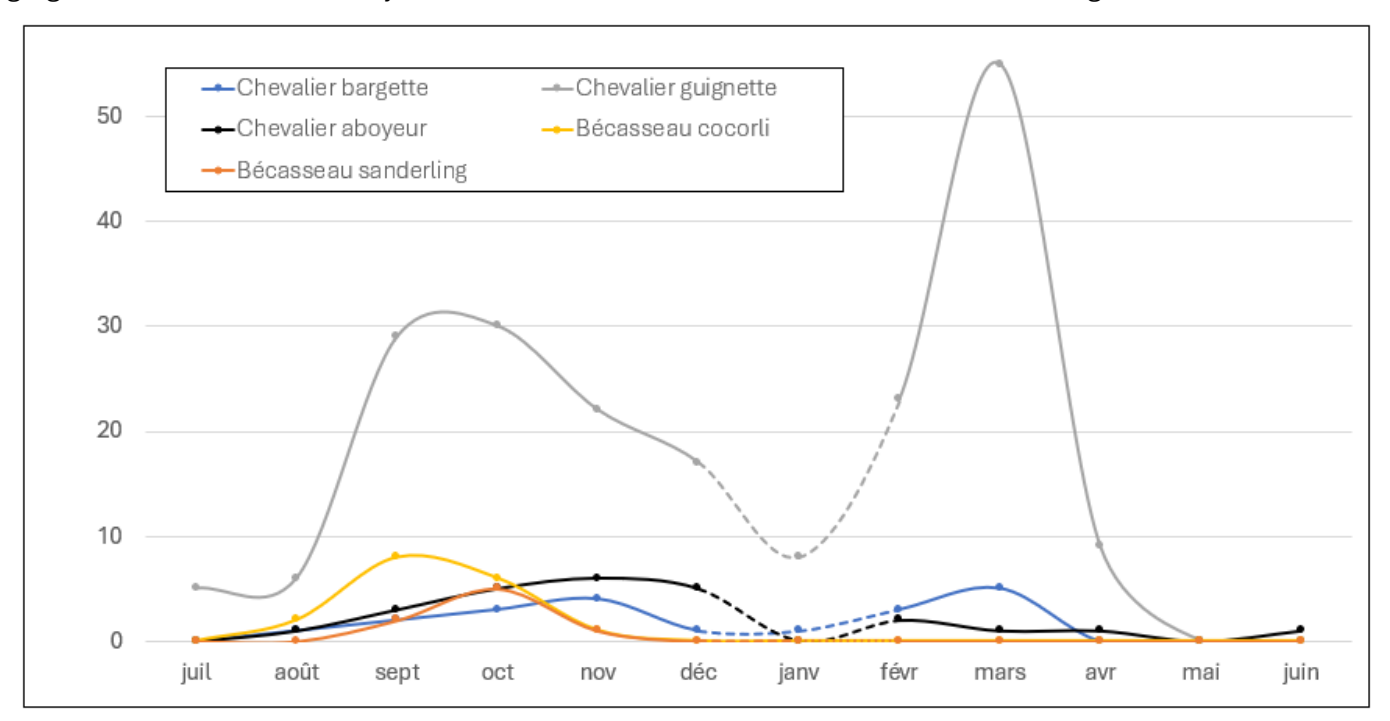


Figure 11 - Évolution des effectifs de Scolopacidés (2/2) sur la saison 2024/2025

Mise à part le Chevalier guignette, ces espèces sont présentes chaque année mais en nombre relativement réduit. Le Bécasseau cocorli montre un maximum de 8 individus le 27 septembre 2024, alors qu'il s'agit du limicole le plus commun de la région (RAZAFIMANDIMBY, 2024). Avec le Bécasseau sanderling, ils n'auront été observés que pendant la migration postnuptiale (Figure 11).

Le Chevalier guignette est un migrateur commun à Mayotte et largement réparti sur l'île, c'est l'un des premiers migrateurs qui arrive, dès juillet, et l'un des rares à être totalement absent hors période de migration, en mai et juin. La phénologie de l'espèce est surprenante cette saison avec une baisse des

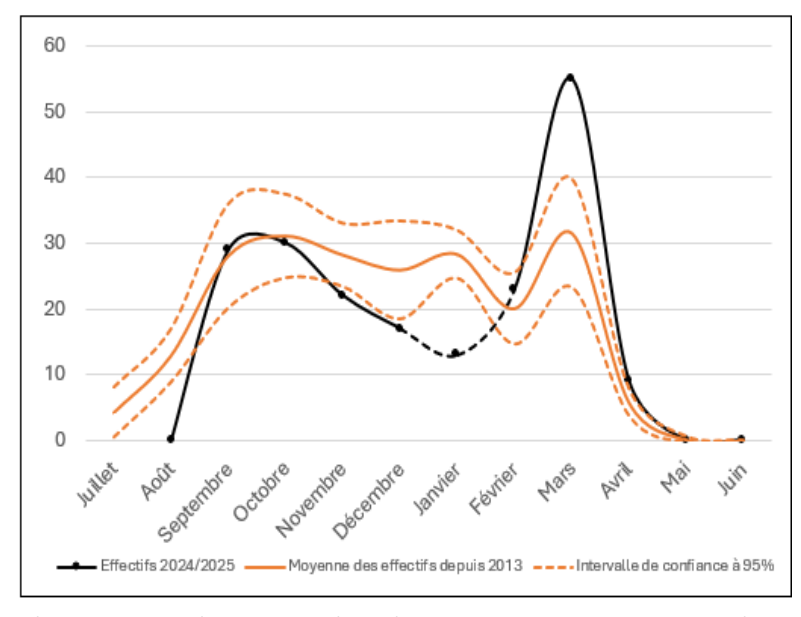


Figure 12 - Effectifs de Chevalier guignette en 2024/2025 et comparaison avec les données depuis 2013

effectifs d'octobre à décembre et un pic exceptionnel de présence en mars (Figure 12). Cela pourrait avoir un lien avec l'activité cyclonique particulièrement intense dans le sud-ouest de l'océan indien cette année (METEO-FRANCE MAYOTTE, 2025), qui pourrait avoir influencé la stratégie de migration et d'hivernage de l'espèce. Il s'agit cependant de l'unique cas de ce type parmi l'ensemble des limicoles suivis.











Figure 13 - Cartographies de répartition des effectifs de Scolopacidés (2/2), par espèce, sur la saison 2024/2025

Le Chevalier bargette et le Bécasseau cocorli sont présents essentiellement dans la vasière des Badamiers pour les mêmes raisons de nourrissage que citées précédemment pour les scolopacidés, ces espèces ayant également un long bec (Figure 13). Le Chevalier aboyeur fait exception à la règle en étant observé plutôt sur le Beach-rock et le platier de l'aéroport, ce dernier se nourrissant aussi de petits poissons et crustacés.

Le Chevalier guignette est vu en plus grand nombre dans la vasière des Badamiers, mais est présent dans la totalité des secteurs prospectés.

I.6 – Autres limicoles : Drome et Glaréole

Le Drome ardéole est l'unique représentant de la famille des Dromadidés. Outre son bec caractéristique, ce limicole est singulier par le fait qu'il s'agisse du seul nichant dans un terrier. Ses effectifs ont été relativement élevés, surtout en janvier (malgré un comptage partiel) et février (Figure 14).

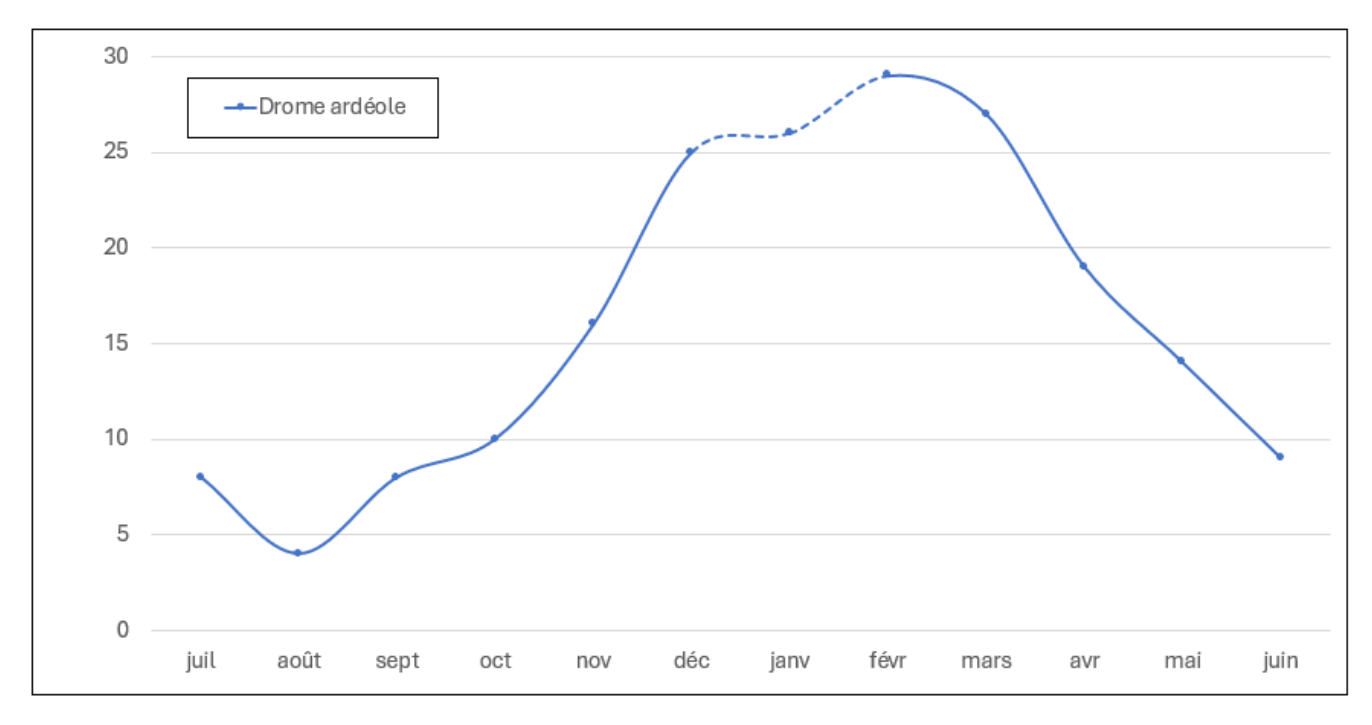


Figure 14 - Évolution des effectifs de Drome ardéole sur la saison 2024/2025

Concernant les glaréoles, elles ne font l'objet que d'observations occasionnelles à Mayotte, durant leurs périodes de migration. Une mention exceptionnelle de Glaréole à ailes noires a eu lieu le 26/11/2024 par Malo Braquier au platier de l'aéroport. Il s'agit de la deuxième mention de l'espèce à Mayotte, les deux ayant eu lieu en 2024 (la première le 17/05/2024). Le deuxième individu observé était en plumage internuptial, à l'inverse du premier. Il n'est pas exclu qu'il s'agisse du même individu, au vu de la rareté de présence de l'espèce à Mayotte.





Photo 5 - Glaréole à ailes noires au platier de l'aéroport le 17/05/2024 (à gauche) et le 26/11/2024 (à droite)



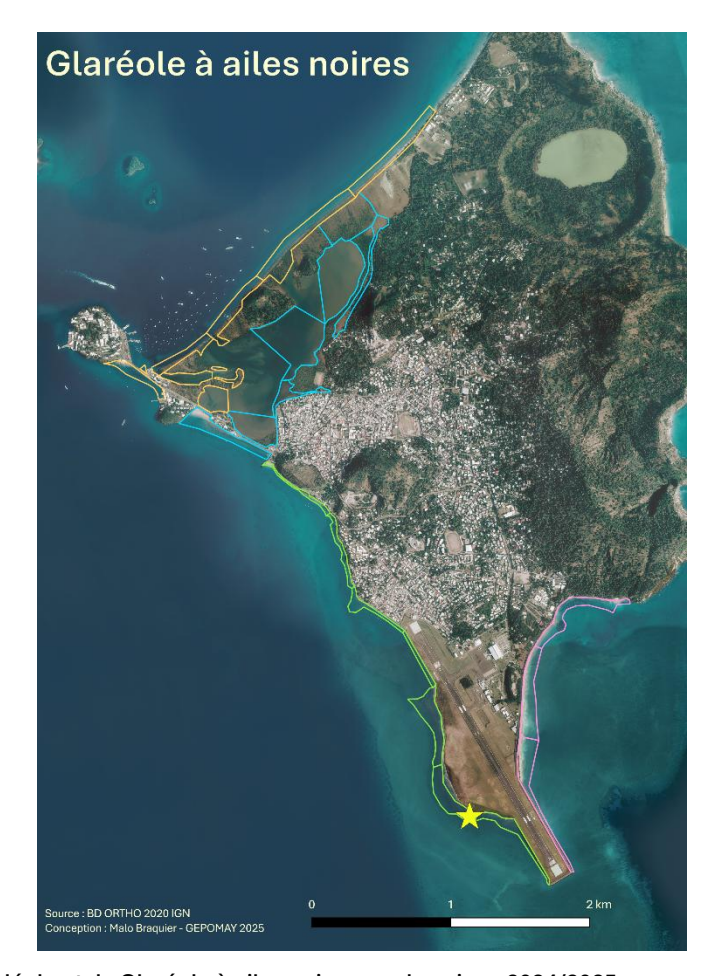


Figure 15 - Cartographies de répartition des effectifs de Drome ardéole et de Glaréole à ailes noires, sur la saison 2024/2025

Le Drome ardéole est présent quasi exclusivement au secteur « 3.1 », en particulier quand la marée descendante découvre tout juste les étendus de vase. Lorsque que la marée monte et qu'elle recouvre ce secteur, les dromes sont vus majoritairement sur des reposoirs au sein de la vasière des Badamiers (Figure 15).

1.7 - Ardeidés : Hérons et Aigrettes

Six espèces d'Ardéidés fréquentent habituellement les sites de Petite-Terre : le Héron strié, le Crabier blanc, le Héron garde-bœufs, la Grande Aigrette, le Héron cendré et le Héron de Humblot.

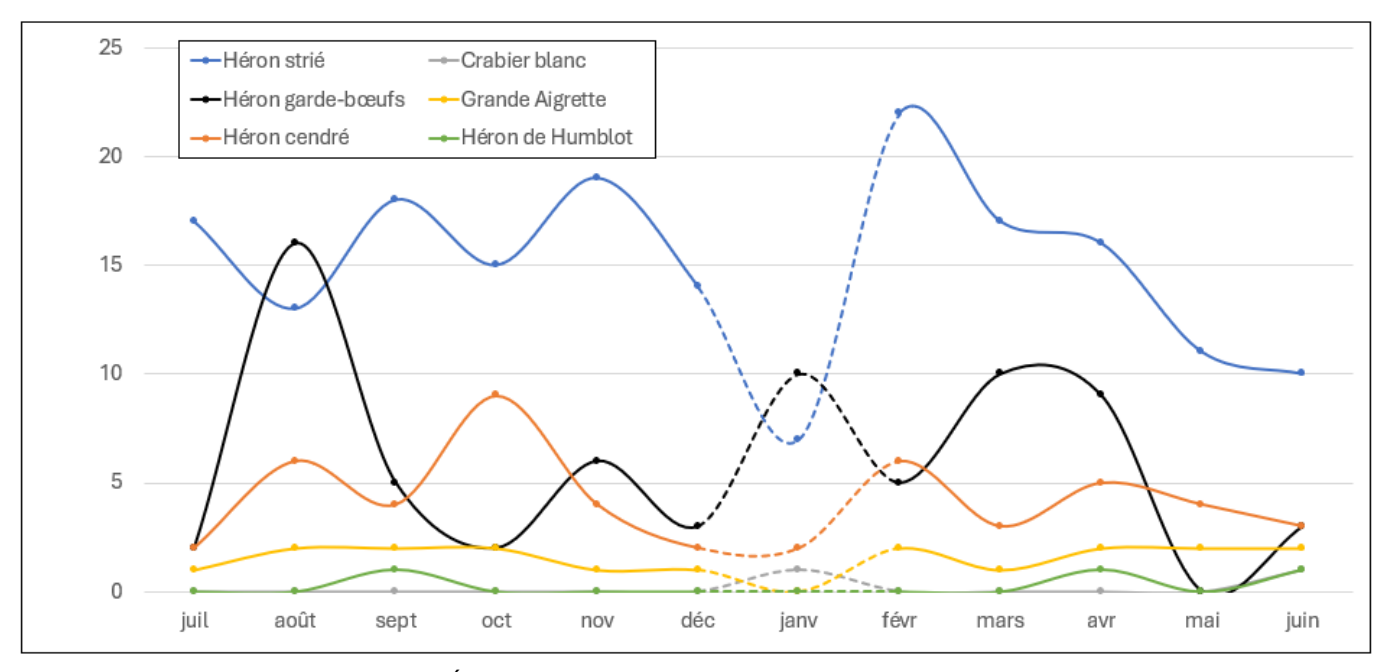


Figure 16 - Évolution des effectifs d'ardéidés sur la saison 2024/2025

Les effectifs des différentes espèces sont fluctuants tout au long de l'année, sauf pour la Grande Aigrette avec 1 à 2 individus durant toute la saison (Figure 16). Le Héron strié est le héron le plus commun avec 15 à 20 individus en moyenne. Un joli effectif de 9 Hérons cendrés le 14 octobre 2025 permet d'avoir une idée de la taille minimum de la colonie située à proximité, dont 2 jeunes qui auront été présent tout au long de la saison. Le Héron de Humblot a été relativement peu présent cette année avec seulement 4 observations. La présence du Crabier blanc et du Héron garde-bœufs est anecdotique pour ce suivi.



Photo 6 - Comptage au platier de l'aéroport

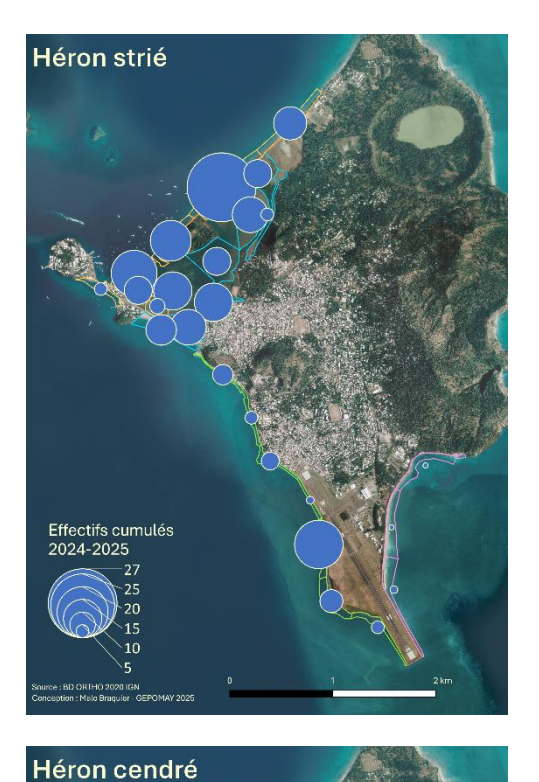










Figure 17 - Cartographies de répartition des effectifs d'ardéidés, par espèce, sur la saison 2024/2025

Le Héron strié est réparti sur l'ensemble des secteurs, avec des effectifs plus importants dans la vasière des Badamiers. La Grande Aigrette fréquente exclusivement la vasière des Badamiers, quant au Héron cendré, il est majoritairement observé au platier de l'aéroport (Figure 17).

Le Héron de Humblot a été vu 2 fois à la vasière cette année, il est habituellement fortement présent au platier de l'aéroport et à la plage de Titi Moya.

Effectifs cumulés

II - International Waterbird Census (IWC)

II.1 - Présentation

Chaque année le GEPOMAY met en œuvre l'IWC à Mayotte, en coordonnant un comptage généralisé sur l'ensemble des zones humides d'importance. Les données sont envoyées à Wetlands International, qui coordonne le suivi à l'échelle internationale.

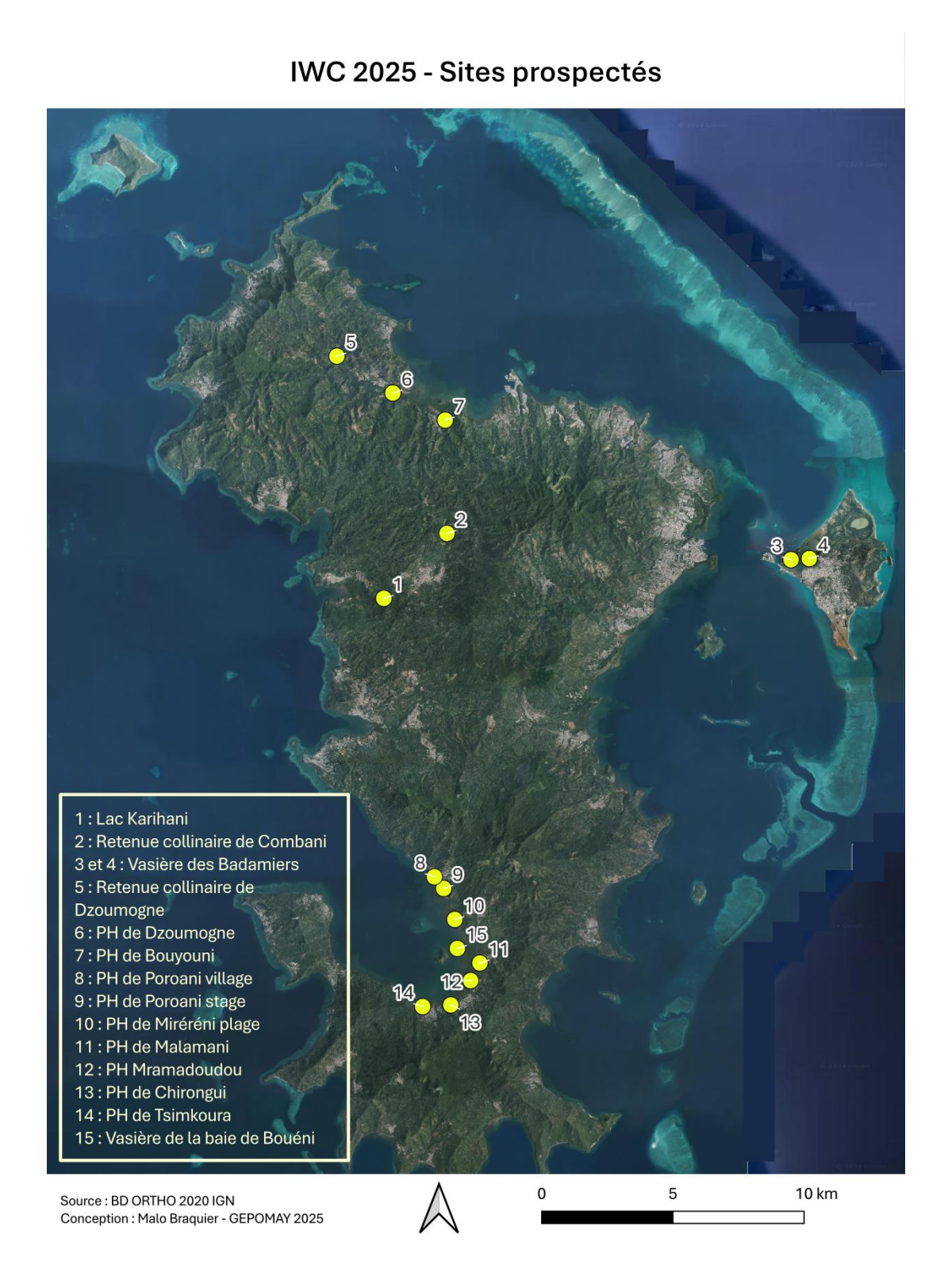


Figure 18 – Localisation des sites prospectés pour l'International Waterbird Census 2025 à Mayotte

II.2 - Résultats

Cette année, l'IWC est survenu peu après le passage du cyclone Chido, compliquant considérablement la prospection des sites aux alentours de la mi-janvier. Tout de même 15 sites ont été prospectés du 14 au 17 janvier (Figure 18) par trois agents du GEPOMAY (Tableau 5).

Tableau 5 - Participants à l'IWC 2025

Observateur	Structure
Anisse Ahamada	GEPOMAY
Kamal-Eddine Allaoui	GEPOMAY
Daniel Nassur	GEPOMAY

Les espèces les plus représentées furent le Crabier blanc (54 individus ; Figure 19), la Gallinule poule-d'eau (40 individus) et le Héron garde-bœufs (32 individus). On notera la présence exceptionnelle de deux Sarcelles d'été, au lac Karihani.

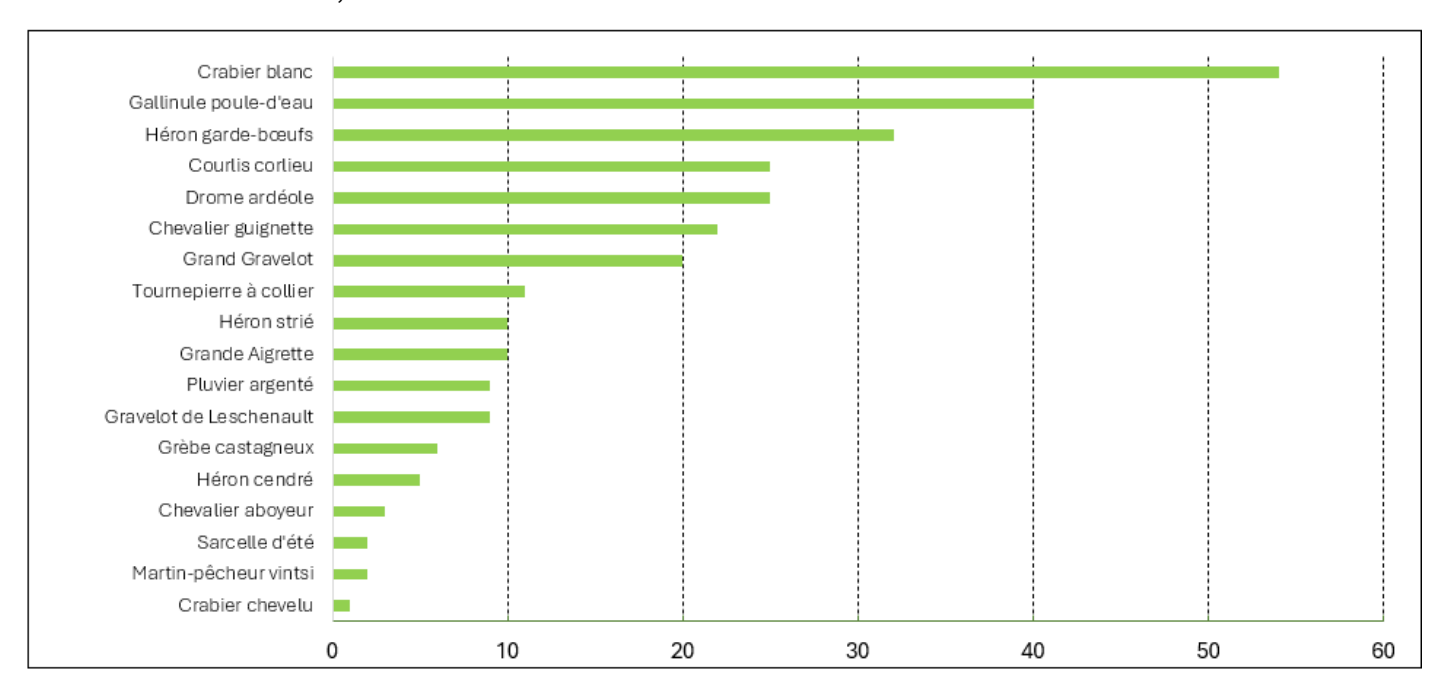


Figure 19 - Effectifs d'oiseaux d'eau cumulés par espèce lors de l'IWC 2025

III - Suivi en bateau des colonies de Phaéton à bec jaune

III.1 - Présentation

Le Phaéton à bec jaune, *Phaethon lepturus*, est le seul oiseau marin nicheur régulier à Mayotte. Il niche tout autour de Mayotte, sur les îlots et le long des falaises. La plupart des colonies étant inaccessibles, le suivi s'effectue en comptant les individus prospecteurs depuis un bateau. Trois itinéraires sont effectués une fois tous les deux mois (Figure 20), entre 11:00 et 14:00, pendant le pic d'activité de l'espèce. Sur chaque secteur ou îlot, le nombre maximal d'individus observés à un instant *t* est retenu.

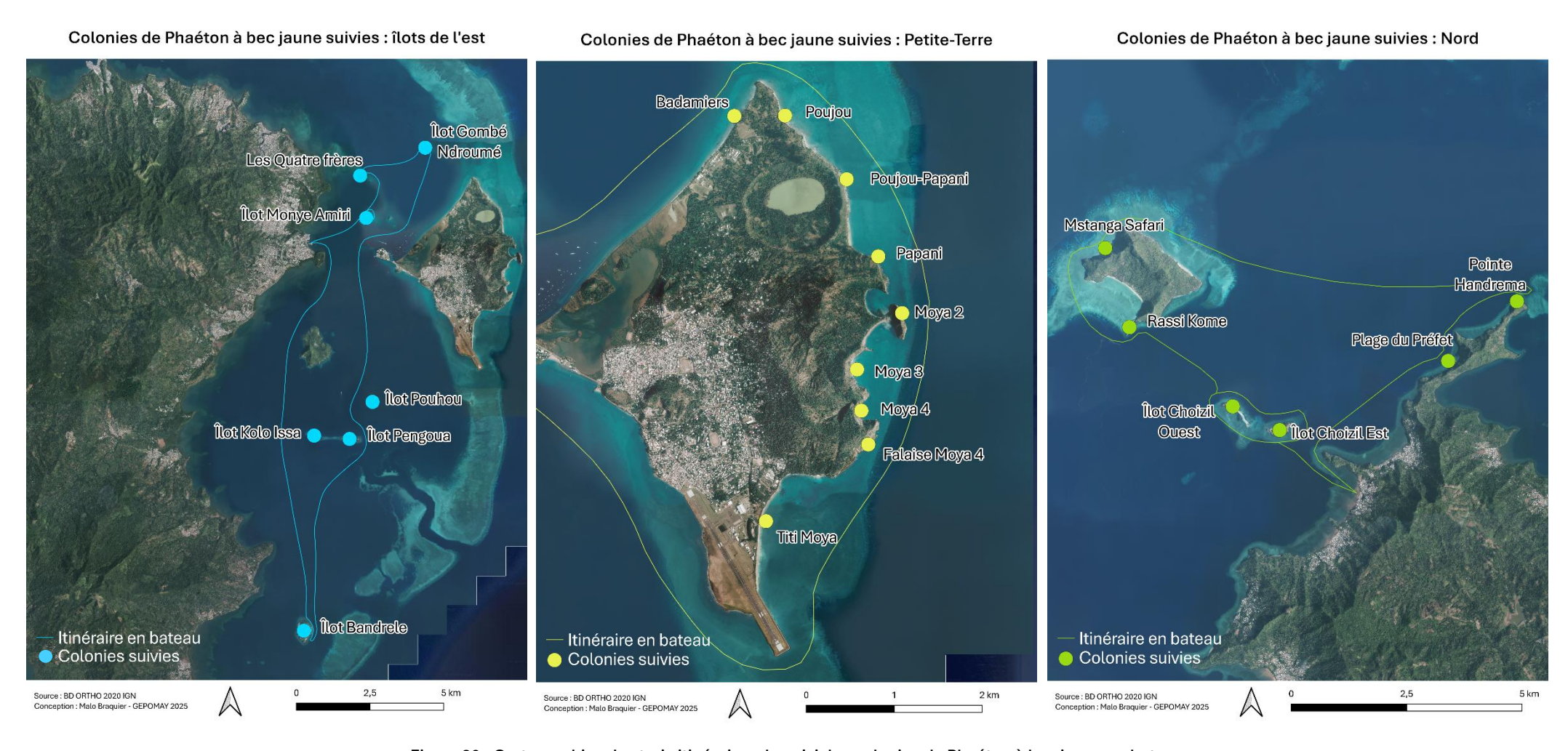


Figure 20 - Cartographies des trois itinéraires du suivi des colonies de Phaéton à bec jaune en bateau

III.2 - Résultats

Cette année, les suivis en bateau furent compliqués par l'impact de Chido sur les embarcations. Entre disponibilité de l'offre de prestataires nautique réduite et conditions de navigation agitées, 10 des 12 suivis initialement prévus ont tout de même pu être effectués par le GEPOMAY (Tableaux 6 et 7) :

- 3 sur 4 pour les falaises de Petite-Terre
- 3 sur 4 pour les îlots de l'est du lagon
- 4 sur 4 pour le Nord

Un suivi a été annulé pour conditions cycloniques, le second pour indisponibilité de prestataires. Les suivis prévus en juin ont été effectués début juillet, suivant la disponibilité des prestataires.

Tableau 6 - Planning des suivis de Phaéton à bec jaune en bateau en 2024/2025

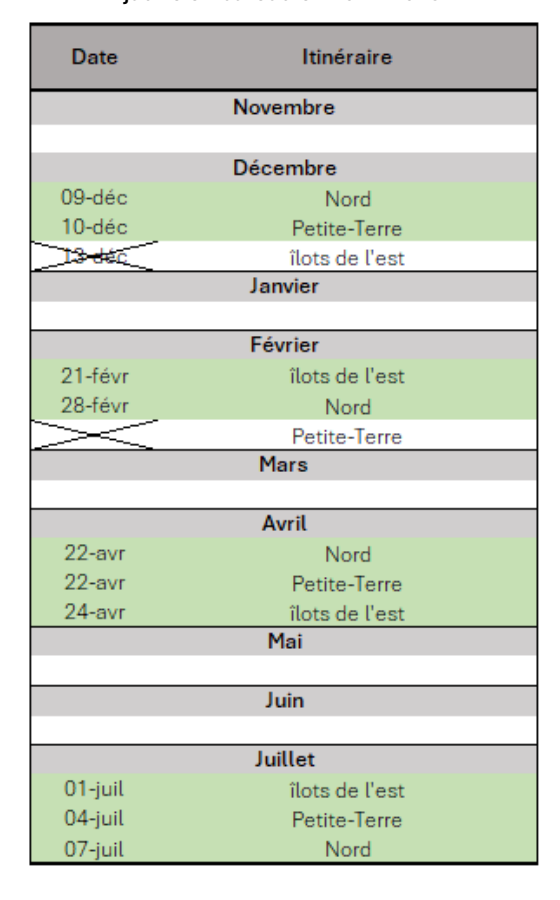


Tableau 7 - Participants aux suivis de Phaéton à bec jaune en bateau en 2024/2025

Observateur	Structure	Participations
Mickael Heudier	GEPOMAY	6
Malo Braquier	GEPOMAY	4

On observe que les falaises de Petite-Terre concentrent la majorité des effectifs, sur les différents secteurs prospectés (Figure 21). L'îlot Mtsamboro est l'îlot le plus peuplé mais il s'agit également du plus grand. Les îlots Monye Amiri, Gombé Ndroumé, Pouhou et 4 frères sont plus petits, mais semblent alors bien plus denses. Les effectifs observés ne traduisent pas directement un nombre de nids ou de couples installés, mais nous espérons qu'ils pourront être indicateur de l'évolution des effectifs sur le long terme. Notre nouveau protocole étant opérationnel depuis 2023, il faudra attendre quelques années supplémentaires avant de pouvoir analyser correctement les données.

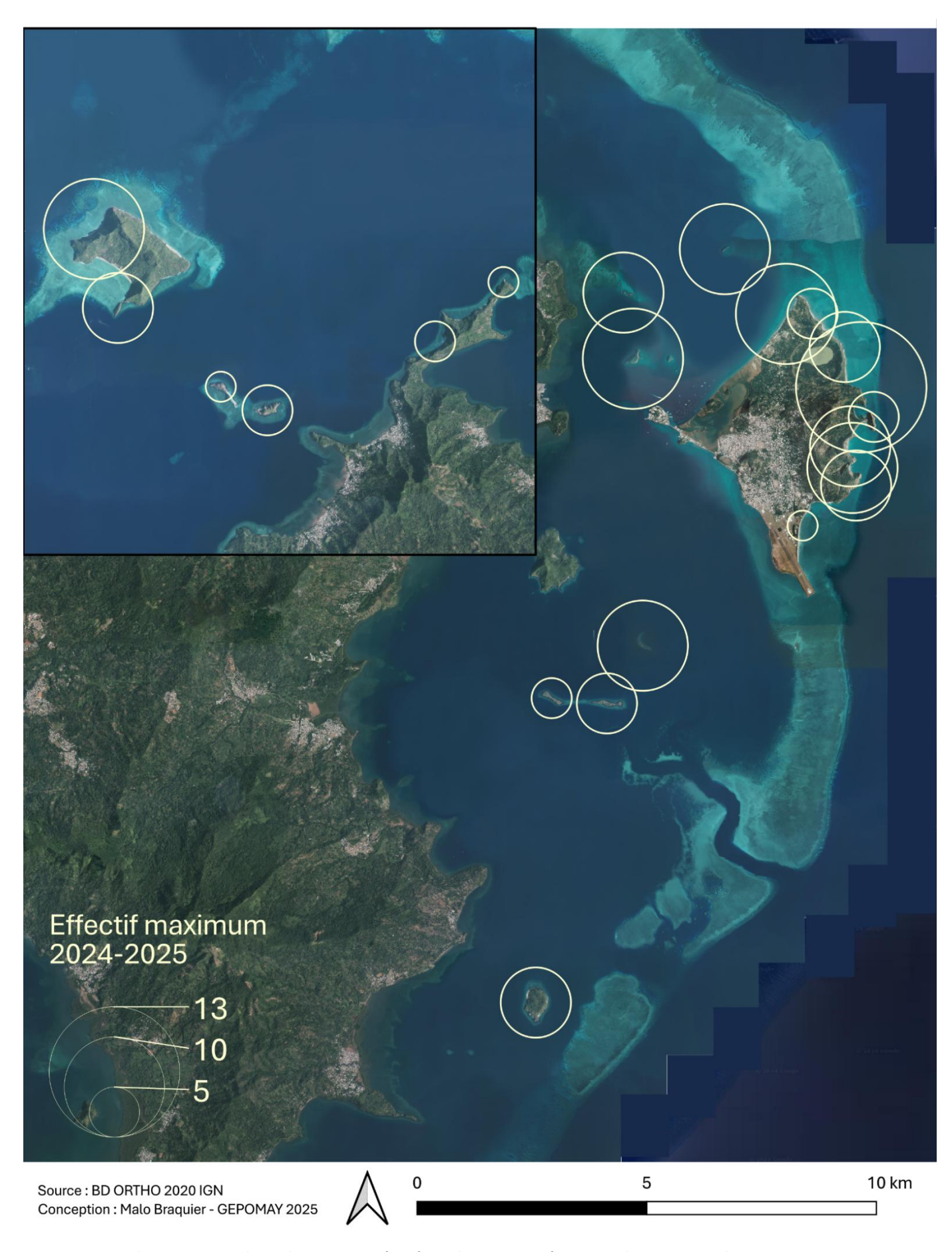


Figure 21 - Effectif maximum de Phaéton à bec jaune compté par colonie durant la saison 2024/2025

IV - Suivi aéroporté des reposoirs de Sternes

IV.1 - Présentation

Mayotte accueille chaque année de nombreuses sternes en halte migratoire ou en hivernage, réparties sur différents reposoirs tout autour de Mayotte (Figure 22). Leurs effectifs sont suivis par survol en ULM grâce à un appareil photo équipé d'un téléobjectif. Puis les effectifs sont dénombrés par photocomptage sur le logiciel Photoshop. Cette méthode permet un dénombrement très précis, mais complique l'identification de certains individus. Les espèces les plus communes à Mayotte sont facilement identifiables, mais les espèces occasionnelles peuvent passer inaperçues. Ces survols étaient auparavant couplés d'un suivi en bateau, qui a permis de constater que la part d'espèces occasionnelles était négligeable. Les vols ont lieu une fois par mois de juin à novembre puis deux fois par mois de décembre à mai (haute saison de fréquentation) à marée basse entre 7:00 et 9:00.

IV.2 - Réalisation des survols

Tableau 8 - Planning des survols ULM effectués en 2024/2025

Date							
Juillet 2024							
17-juil	Complet						
	Août 2024						
20-août	Complet						
	Septembre 2024						
16-sept	Complet						
	Octobre 2024						
15-oct	Complet						
	Novembre 2024						
15-nov	Complet						
	Décembre 2024						
11-déc	Complet						
2 7 d 60	Annulé						
	Janvier						
~~	Annulé						
Annulé							
	Février						
05.11	Annulé						
25-févr	Complet Mars						
	Mars Annulé						
03-avr	Complet (décalé à début avril)						
US-avi	Avril						
08-avr	Complet						
28-avr	Complet						
20 011	Mai						
09-mai	Partiel						
24-mai	Complet						
	Juin						
07-juin	Complet						

Tableau 9 - Observateurs mobilisés pour la réalisation des survols ULM en 2024/2025

Observateur	Structure	Participations
Malo Braquier	GEPOMAY	6
Mickael Heudier	GEPOMAY	4
Eloi Contant	GEPOMAY	2
Léo Bouakaz	GEPOMAY	1



Figure 22 - Plan de vol du suivi en ULM des reposoirs à sternes

Douze survols complets sur les 18 prévus ont été réalisés, un vol a été partiel pour cause d'orages, et cinq ont été annulés à la suite du cyclone, le matériel utilisé pour les survols ayant été détruit. Tous les survols ont été réalisés par des agents du GEPOMAY (Tableaux 8 et 9).

IV.3 – Sterne voyageuse: abondance et répartition

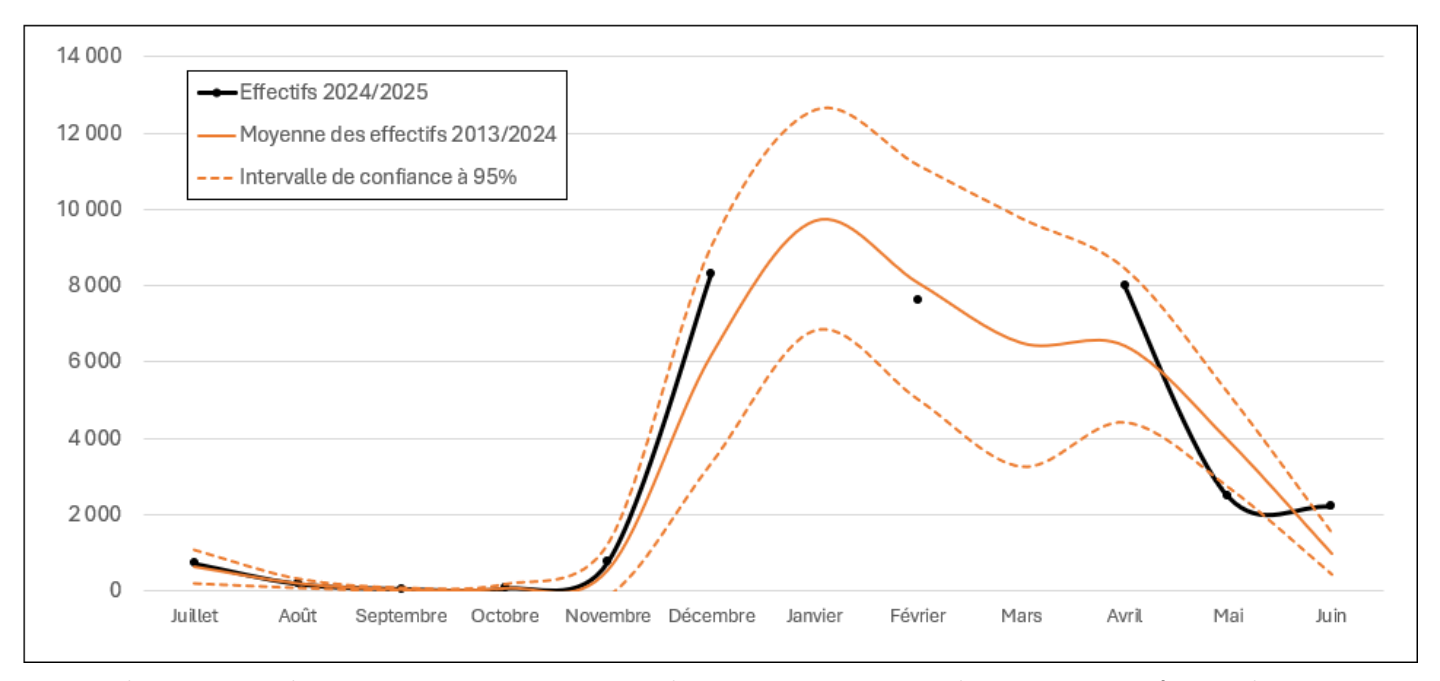


Figure 23 - Effectifs de Sterne voyageuse durant la saison 2024/2025 et comparaison avec les données depuis 2013

Le manque de survols pendant la période critique de présence de cette espèce (janvier-février) ne permet pas d'avoir une indication sur le maximum d'effectifs présents cette année (Figure 23). Les comptages qui ont été réalisés témoignent d'effectifs dans la moyenne pour cette année, malgré le passage de Chido, durant lequel des sternes ont été observées volant dans l'œil du cyclone (obs. pers.).

Concernant leur répartition, les sternes voyageuses ont fréquenté essentiellement l'îlot de sable blanc du sud (ISBS), qui concentre 42% des effectifs (Figure 24). Viens ensuite le petit îlot de la passe Choizil (PIPC), qui a accueilli 31% des effectifs de Sterne voyageuse cette année. Ce dernier grandit d'année en année et accueille de plus en plus de sternes, au détriment du proche îlot de sable blanc du Nord (ISBN). Le PIPC est en outre l'îlot de sable blanc le plus éloigné des terres habitées de Mayotte, et le moins fréquenté par les opérateurs nautiques.

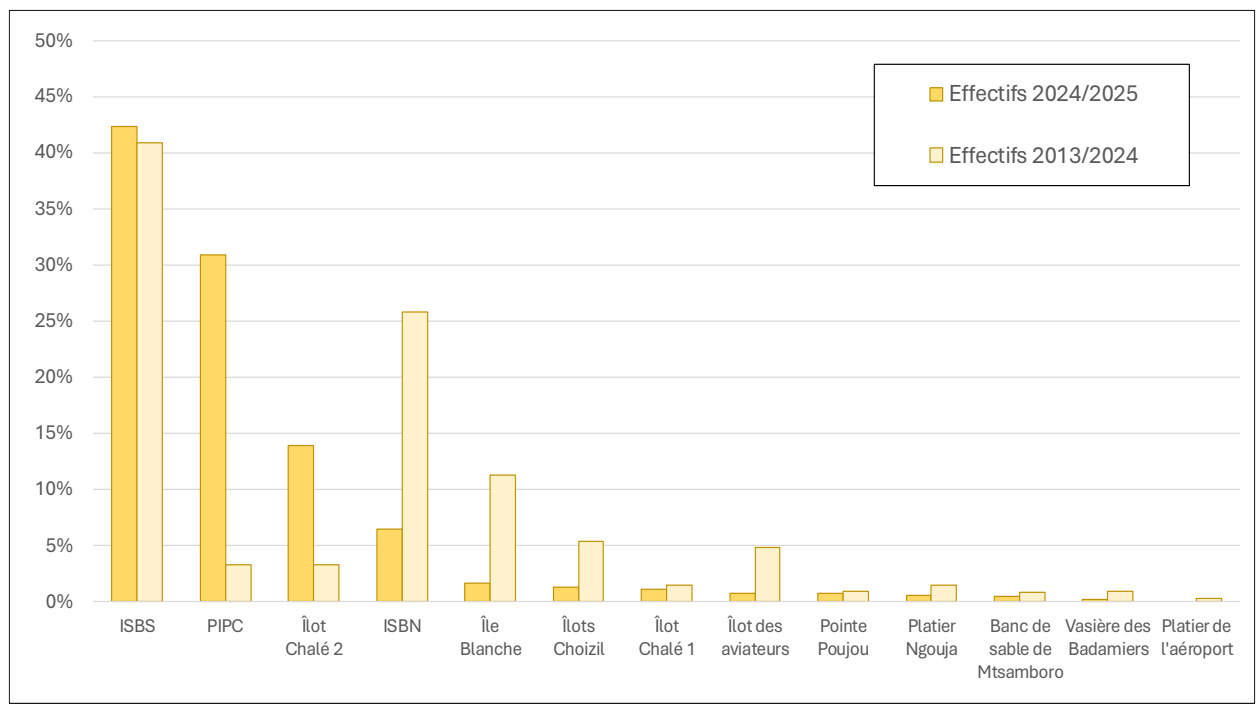


Figure 24 - Proportion des effectifs de Sterne voyageuse par reposoir, sur la saison 2024/2025

IV.4 - Noddi brun: abondance et répartition

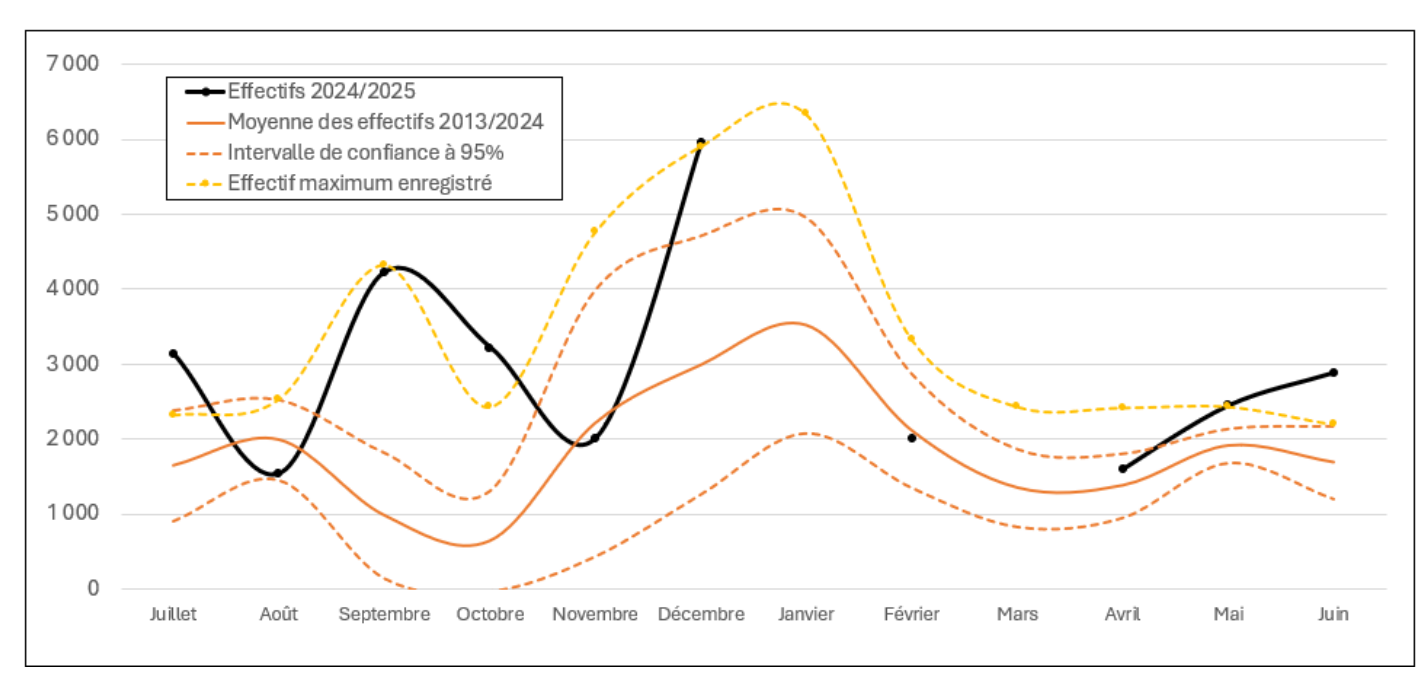


Figure 25 - Effectifs de Noddi brun durant la saison 2024/2025 et comparaison avec les données depuis 2013

Le Noddi brun niche dans l'océan Indien et est présent sur Mayotte presque à l'année, de façon fluctuante (Figure 25). Cette année les effectifs ont été élevés en septembre, octobre et décembre, avec un nouveau record d'effectif pour octobre (3219 individus le 15.10.2024) et décembre (5947 individus le 11.12.2024). Le reste de l'année, les effectifs ont été relativement proche des effectifs habituels, malgré le passage du cyclone Chido. Des noddis bruns avaient d'ailleurs été retrouvés mort sur l'îlot Pouhou, à la suite du cyclone (Les Naturalistes de Mayotte com. pers.).

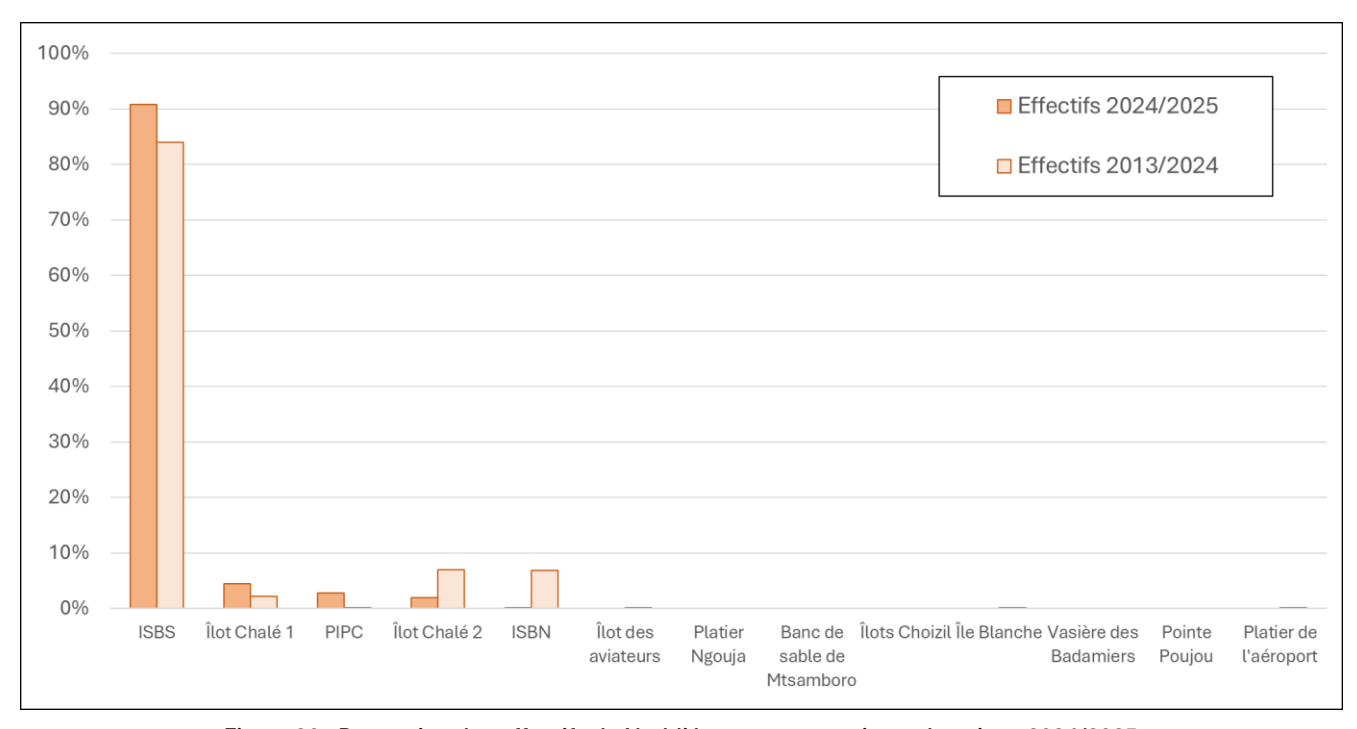


Figure 26 - Proportion des effectifs de Noddi brun par reposoir, sur la saison 2024/2025

Les noddis bruns fréquentent très majoritairement l'ISBS, et les proches îlots Chalé (Figure 26). Ils ne sont observés quasi exclusivement que sur les îlots de sable blanc en bordure du lagon.

IV.5 – Sterne naine: abondance et répartition

En 2025, la publication au Bulletin of African Bird Club d'un article sur le statut de la Sterne naine et de la Sterne de Saunders *S. saundersi* dans la région malgache et l'archipel des Chagos a permis de clarifier le statut de ces deux espèces à Mayotte (SAFFORD *et al.*, 2025). Toutes les photos disponibles au GEPOMAY ont été analysées, et 100% des photos de *Sternula sp.* sur les îlots de sable blanc présentaient des Sternes naines. La Sterne de Saunders ne fait l'objet que d'une unique mention : un individu observé à Titi Moya. Ce travail a été rendu possible grâce à la publication de nouveaux critères d'identification fiables pour ces deux espèces en plumage internuptiale (Mullarney & Campbell, 2023).



Photo 7 - Sterne naine sur l'îlot de sable blanc du sud le 13.01.2019. @Thomas Ferrari - GEPOMAY

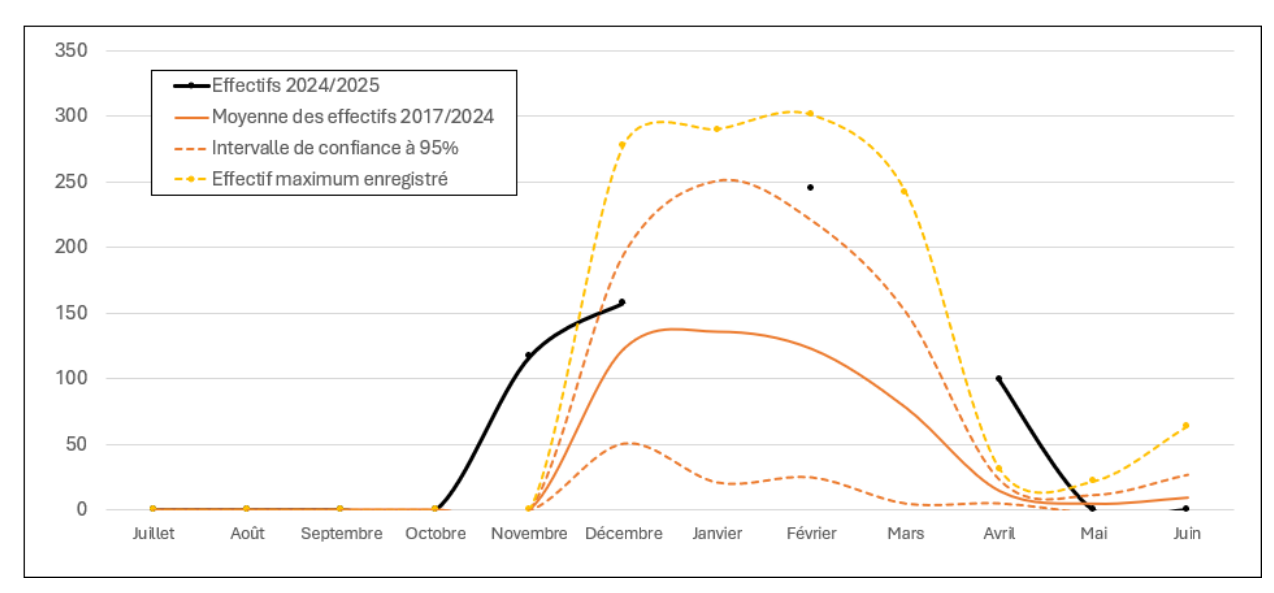


Figure 27 - Effectifs de Sterne naine durant la saison 2024/2025 et comparaison avec les données depuis 2017

C'est la première année dans le cadre de ce suivi que nous observons l'arrivée de la Sterne naine dès novembre, avec un départ également tardif entre avril et mai (Figure 27). L'effectif enregistré en février était au-dessus des effectifs moyens, mais tout de même loin de l'effectif maximal. Cela laisse cependant supposer une forte présence de l'espèce cette année.

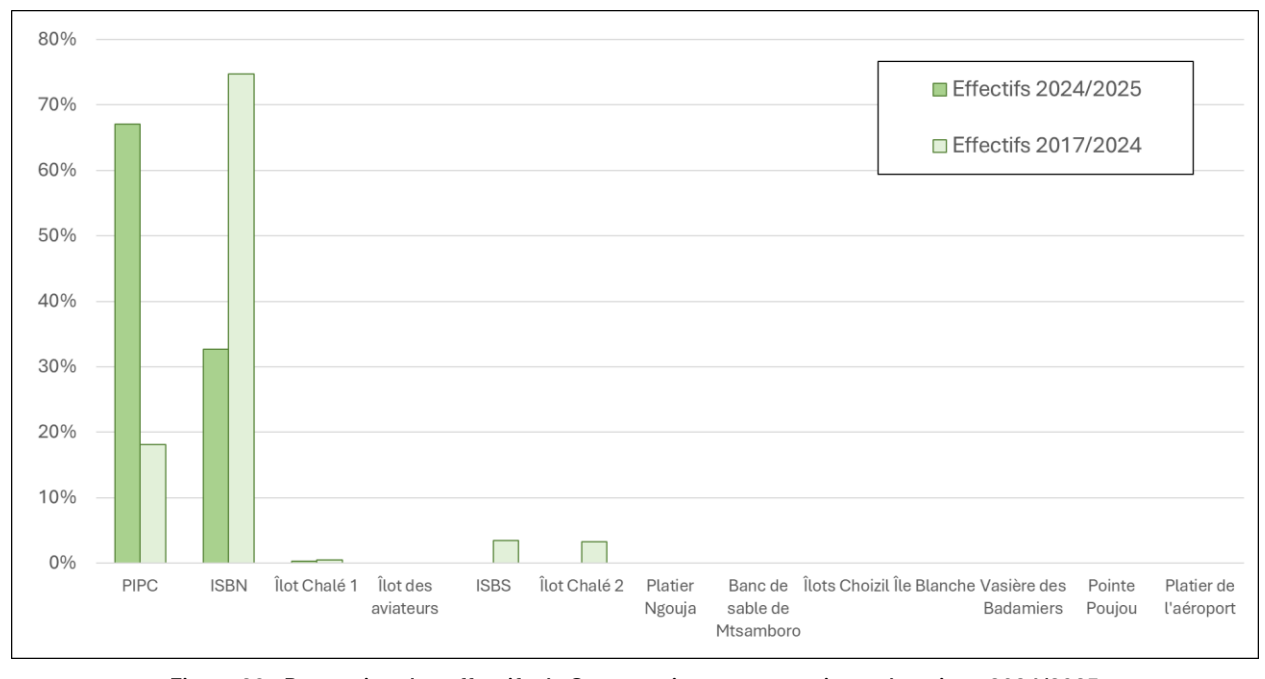


Figure 28 - Proportion des effectifs de Sterne naine par reposoir, sur la saison 2024/2025

À l'inverse du Noddi brun, la Sterne naine est observée très majoritairement sur les îlots de sable blanc au nord du lagon de Mayotte (Figure 28). Les chiffres de cette année démontrent bien l'importance qu'a pris le PIPC en tant que site d'accueil des sternes migratrices. C'est îlot est également pour l'instant plus à l'abri de la fréquentation touristique, du fait de son éloignement.

Conclusion

La saison 2024/2025 fut riche en évènements, en particulier avec le passage du cyclone Chido. Le GEPOMAY a maintenu les suivis autant que possible, et les données récoltées montrent que le cyclone ne semble avoir eu qu'un impact direct mineur sur les populations d'oiseaux côtiers et marins. Malgré un dérangement certains, les effectifs de limicoles, ardéidés et sternidés suivis ont retrouvé leurs valeurs normales dès février/mars. Tout de même, il faudra continuer la surveillance pour étudier les possibles impacts indirects, visibles eux sur le plus long terme : disponibilité de l'habitat et des ressources par exemple.

Remerciements

Nous remercions l'Office Français de la Biodiversité, le Parc Naturel Marin de Mayotte et la Direction de l'Environnement, de l'Aménagement, du Logement, et de la Mer de Mayotte pour leur soutien technique et financier aux actions de l'OOCM.

Nous remercions également l'ensemble de nos partenaires impliqués dans ce projet, ainsi que toutes les personnes qui sont venues appuyer nos actions cette année.



Photo 8 – Sternes voyageuses et noddis bruns sur l'îlot de sable blanc du sud, 07.06.2025

Bibliographie citée

- METEO-FRANCE MAYOTTE. (2025): Bilan de la saison cyclonique 2024-2025
- MULLARNEY K, & CAMPBELL O. (2023): Identification of Saunders's Tern and Little Tern, with special emphasis on juvenile and winter plumages. *Dutch Birding* 44: 165-198.
- RAZAFIMANDIMBY F. (2024): Island sanctuaries: The significance of western Indian Ocean islands for palearctic waders
- SAFFORD RJ, AMY M, BRAQUIER M, CAMPBELL O, CARR P, MULLARNEY K, & SKERRETT A. (2025): The status of Little Tern Sternula albifrons and Saunders's Tern S. saundersi in the Malagasy region and Chagos archipelago. [Bulletin of the African Bird Club 32(1): 42–60.]